Irradiancia solar en ausencia de nubes

I - Modelos

Agustín Laguarda laguarda@fing.edu.uy



RS en la superficie es necesario para amplio rango de aplicaciones con requerimentos diferentes (espectro, componentes, precisión, resolución etc.). además tipo de modelo adecuado depende de factores externos (acceso a información apropiada)

modelos puramente físicos:

estiman perfil en todas las capas de la atm. necesario en estudios climatológia y meteorología (calentamiento de la atm.)

modelos empíricos:

correlaciones derivadas de regresiones. asume que RS deriva de otras cantidades indeptes. (temperatura, horas de luz, duración del día, etc.) simplificados. No recomendados a nivel intradiario

parametriaciones de modelos físicos:

Parametrizaciones de modelos físicos.

Analíticos o tablas de referencia.

Operacionales a gran escala espacio-temporal.

Diferentes complejidades

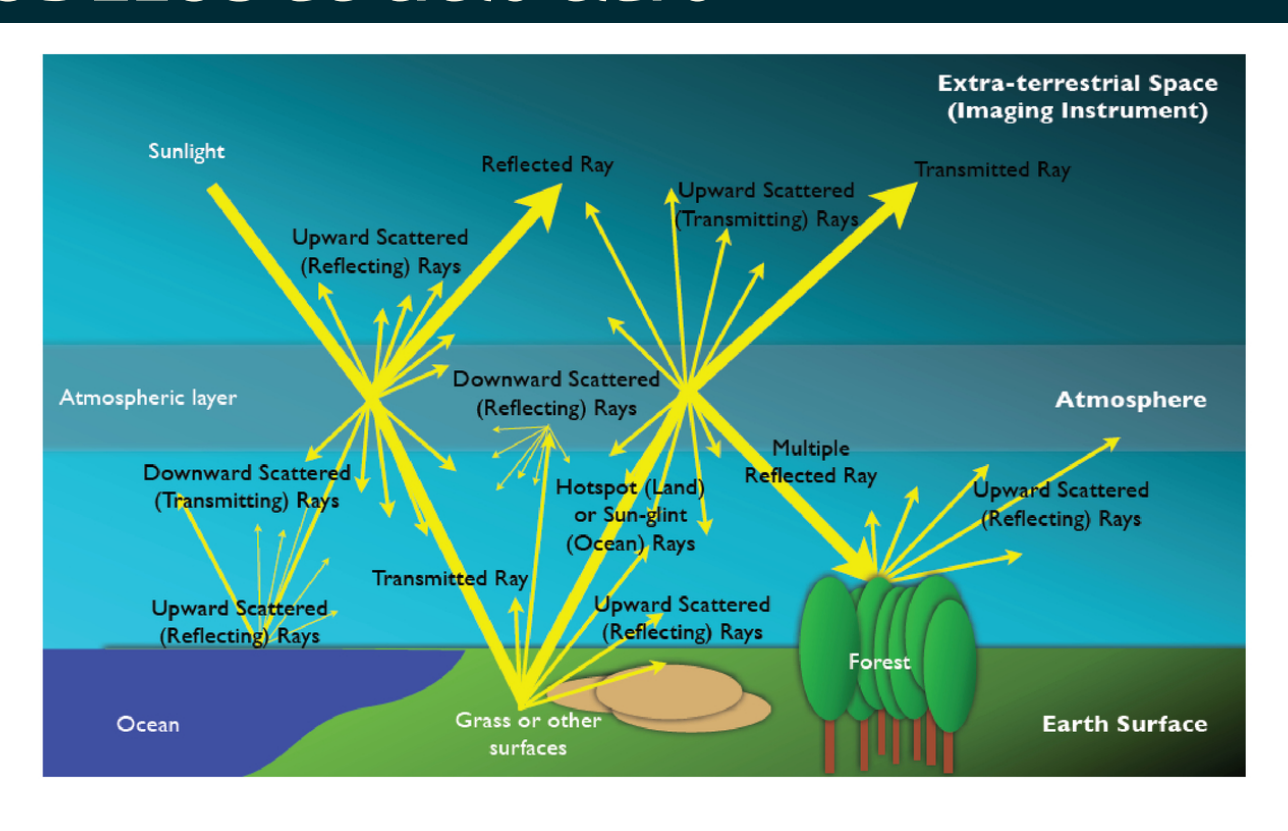
Tan precisos como sea su información de entrada

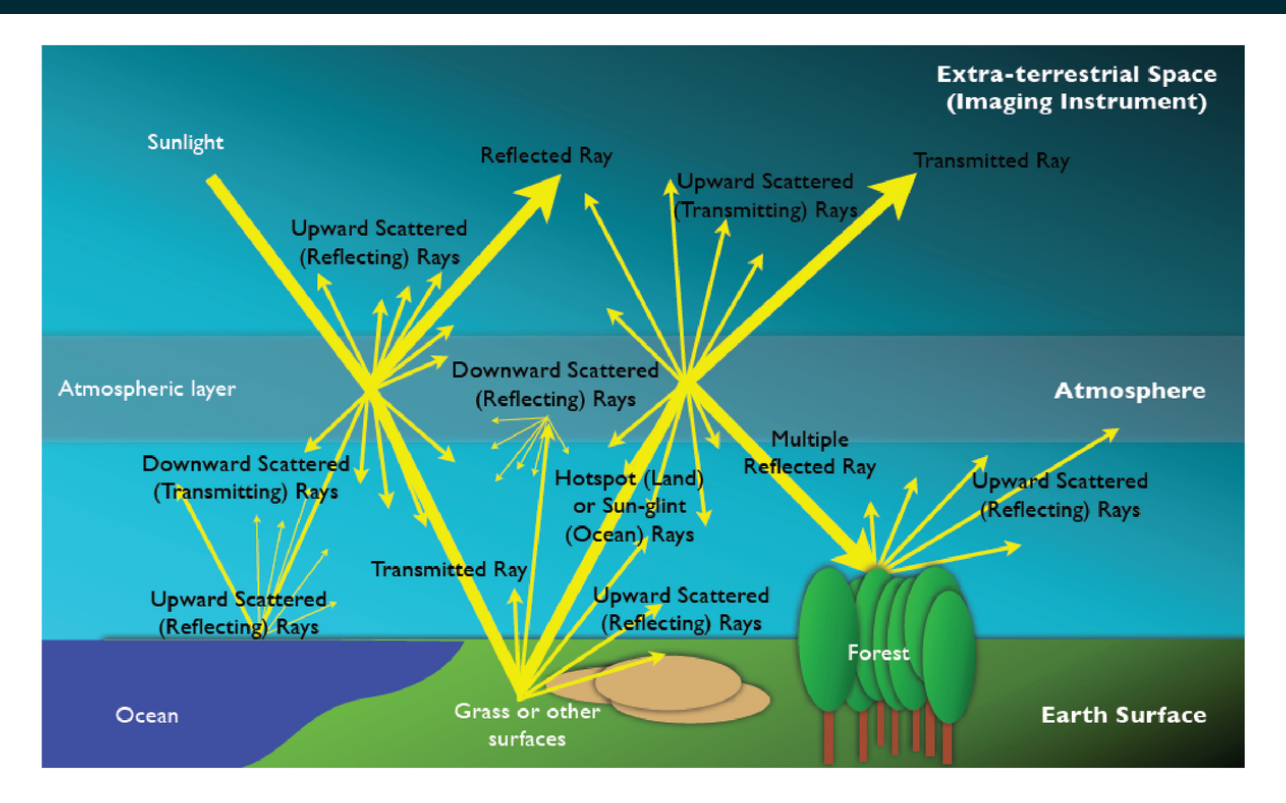
~ precisos 10⁵ más rápidos que modelos RTM

estimar la irradiancia solar (DNI y GHI) en ausencia de nubes (cielo claro)

Motivación

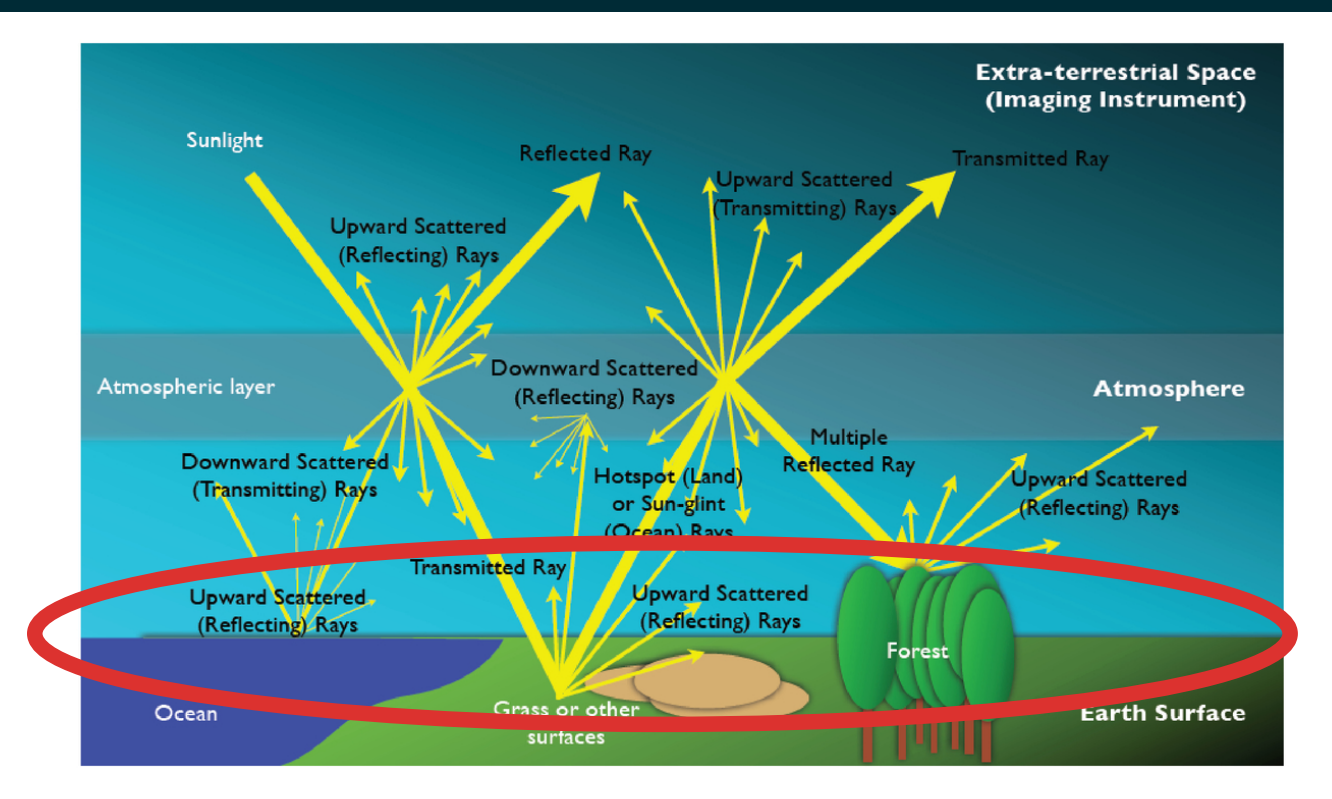
- i) obtener series para derivar irradiancia solar en toda condición de cielo
- ii) base para pronóstico de radiación solar
- iii) desarrollar bases de datos para el diseño de tecnologías CSP
- iv) base para algoritmos de control de calidad de observaciones de RS
- v) base para el cálculo de pérdida de calor de edificios





Procesos a tener en cuenta (en orden descendiente de importancia):

- scattering molecular (Rayleigh)
- scattering de aerosoles
- absorción por aerosoles
- absorción por vapor de agua
- absorción por Ozono
- abs. por mezcla de otros gases



Procesos a tener en cuenta (en orden descendiente de importancia):

el foco en la superficie y en todo el espectro (banda ancha) permite simplificaciones

- scattering molecular (Rayleigh)
- scattering de aerosoles
- absorción por aerosoles
- absorción por vapor de agua
- absorción por Ozono
- abs. por mezcla de otros gases

En general se modelan las componentes directa en incidencia normal y difusa por separado y luego se suman para obtener la radiación global en PH

$$G_h = G_b \cos \theta_z + G_d$$

En general se modelan las componentes directa en incidencia normal y difusa por separado y luego se suman para obtener la radiación global en PH

$$G_h = G_b \cos \theta_z + G_d$$

Modelado de irradiancia difusa: es entre 10 y 20% de GHI, su precisión no es crítica, se puede representar con la suma de radiación difundida por dispersión de Rayleigh, aerosoles, y reflecciones múltiples entre el suelo (albedo) y la atmósfera

En general se modelan las componentes directa en incidencia normal y difusa por separado y luego se suman para obtener la radiación global en PH

$$G_h = G_b \cos \theta_z + G_d$$

Modelado de irradiancia difusa: es entre 10 y 20% de GHI, su precisión no es crítica, se puede representar con la suma de radiación difundida por dispersión de Rayleigh, aerosoles, y reflecciones múltiples entre el suelo (albedo) y la atmósfera

Modelado de irradiancia directa: varias estrategias...

Estrategias de modelado de DNI

$$\tau_{\lambda} = G_{\lambda,b}/G_{\lambda,0} \qquad \tau_{\lambda}$$
$$\tau_{\lambda}$$

Estrategias de modelado de DNI

a nivel
$$au_{\lambda} = G_{\lambda,b}/G_{\lambda,0}$$
 espectral:

$$\tau_{\lambda} = G_{\lambda,b}/G_{\lambda,0}$$

$$au_{\lambda} = au_{\lambda,R} imes au_{\lambda,a} imes au_{\lambda,w} imes au_{\lambda,o} imes au_{\lambda,g}$$

$$au_{\lambda,i} = \exp(-k_{\lambda,i} \, m_i)$$
los procesos son independientes a nivel espectral

Producto de transmitancias:

No es en general válido, pero se asume (Las transmitancias totales de cada efecto alteran el espectro en cada capa de la atm.)

$$\tau = \tau_R \times \tau_a \times \tau_w \times \tau_o \times \tau_g$$

$$\tau_i = \exp(-k_i(m) m)$$

Igual se utiliza sin grandes errores (excepto alt.sol extremas):

Estrategias de modelado de DNI

a nivel
$$au_{\lambda} = G_{\lambda,b}/G_{\lambda,0}$$
 espectral:

$$\tau_{\lambda} = G_{\lambda,b}/G_{\lambda,0}$$

$$\tau_{\lambda} = \tau_{\lambda,R} \times \tau_{\lambda,a} \times \tau_{\lambda,w} \times \tau_{\lambda,o} \times \tau_{\lambda,g}$$

$$\tau_{\lambda,i} = \exp(-k_{\lambda,i} m_i)$$
los procesos son independientes a nivel espectral

Producto de transmitancias:

No es en general válido, pero se asume (Las transmitancias totales de cada efecto alteran el espectro en cada capa de la atm.)

$$\tau = \tau_R \times \tau_a \times \tau_w \times \tau_o \times \tau_g$$

$$\tau_i = \exp(-k_i(m)m)$$

Igual se utiliza sin grandes errores (excepto alt.sol extremas):

Estrategias de modelado de DNI

a nivel
$$au_{\lambda} = G_{\lambda,b}/G_{\lambda,0}$$
 espectral:

$$\tau_{\lambda} = G_{\lambda,b}/G_{\lambda,0}$$

$$au_{\lambda} = au_{\lambda,R} imes au_{\lambda,a} imes au_{\lambda,w} imes au_{\lambda,o} imes au_{\lambda,g}$$
 $au_{\lambda,i} = \exp(-k_{\lambda,i} \, m_i)$
los procesos son independientes a nivel espectral

Producto de transmitancias:

No es en general válido, pero se asume (Las transmitancias totales de cada efecto alteran el espectro en cada capa de la atm.)

$$\tau = \tau_R \times \tau_a \times \tau_w \times \tau_o \times \tau_g$$

$$\tau_i = \exp(-k_i(m)m)$$

Igual se utiliza sin grandes errores (excepto alt.sol extremas):

Profundidad óptica total:

$$\tau = \exp(-\delta(m) \, m)$$

$$\delta(m) = \frac{1}{m} \log \left[\frac{G_0}{\int_{\lambda} G_{\lambda,0} \tau_{\lambda} d\lambda} \right]^{\tau}$$

Estrategias de modelado de DNI

a nivel
$$au_{\lambda} = G_{\lambda,b}/G_{\lambda,0}$$
 espectral:

$$\tau_{\lambda} = G_{\lambda,b}/G_{\lambda,0}$$

$$au_{\lambda} = au_{\lambda,R} imes au_{\lambda,a} imes au_{\lambda,w} imes au_{\lambda,o} imes au_{\lambda,g}$$
 $au_{\lambda,i} = \exp(-k_{\lambda,i} \, m_i)$
los procesos son independientes a nivel espectral

Producto de transmitancias:

No es en general válido, pero se asume (Las transmitancias totales de cada efecto alteran el espectro en cada capa de la atm.)

$$\tau = \tau_R \times \tau_a \times \tau_w \times \tau_o \times \tau_g$$
$$\tau_i = \exp(-k_i(m)m)$$

Igual se utiliza sin grandes errores (excepto alt.sol extremas):

Profundidad óptica total:

$$\tau = \exp(-\delta(m)m)$$

$$\delta(m) = \frac{1}{m} \log \left[\frac{G_0}{\int_{\lambda} G_{\lambda,0} \tau_{\lambda} d\lambda} \right]^{\tau}$$

Estrategias de modelado de DNI

a nivel
$$au_{\lambda} = G_{\lambda,b}/G_{\lambda,0}$$
 espectral:

 $\tau_{\lambda} = \tau_{\lambda,R} \times \tau_{\lambda,a} \times \tau_{\lambda,w} \times \tau_{\lambda,o} \times \tau_{\lambda,g}$ $\tau_{\lambda,i} = \exp(-k_{\lambda,i} \, m_i)$ los procesos son independientes a nivel espectral

Producto de transmitancias:

$$\tau = \tau_R \times \tau_a \times \tau_w \times \tau_o \times \tau_g$$
$$\tau_i = \exp(-k_i(m)m)$$

Igual se utiliza sin grandes errores (excepto alt.sol extremas):

Profundidad óptica total:

$$\tau = \exp(-\delta(m)m)$$

$$\delta(m) = \frac{1}{m} \log \left[\frac{G_0}{\int_{\lambda} G_{\lambda,0} \tau_{\lambda} d\lambda} \right]$$

Profundidad óptica de atmposfera limpia y seca + turbidez:

$$\delta = \delta_R + \delta_T$$

$$T_L = \frac{\delta}{\delta_R}$$

$$\delta=\delta_R+\delta_T$$
 $G_{b,n}=G_0\exp(-\delta_R(m)T_L\,m)$ $T_L=rac{\delta}{\delta_R}$ Factor de turbidez de Linke

Estrategias de modelado de DNI

a nivel
$$au_{\lambda} = G_{\lambda,b}/G_{\lambda,0}$$
 espectral:

 $au_{\lambda} = au_{\lambda,R} imes au_{\lambda,a} imes au_{\lambda,w} imes au_{\lambda,o} imes au_{\lambda,g}$ $au_{\lambda,i} = \exp(-k_{\lambda,i} \, m_i)$ los procesos son independientes a nivel espectral

Producto de transmitancias:

$$\tau = \tau_R \times \tau_a \times \tau_w \times \tau_o \times \tau_g$$
$$\tau_i = \exp(-k_i(m)m)$$

Igual se utiliza sin grandes errores (excepto alt.sol extremas):

Profundidad óptica total:

$$\tau = \exp(-\delta(m)m)$$

$$\delta(m) = \frac{1}{m} \log \left[\frac{G_0}{\int_{\lambda} G_{\lambda,0} \tau_{\lambda} \, d\lambda} \right]$$

 $G_{b,n} = G_0 \exp(-\delta_R(m)T_L m)$

Profundidad óptica de atmposfera limpia y seca + turbidez.

$$\delta = \delta_R + \delta_T$$

$$T_L = \frac{\delta}{\delta_R}$$

 $\frac{1}{\delta_R} = \frac{1}{\delta_R}$ TL se interpreta como e y secas equivalente

ESRA

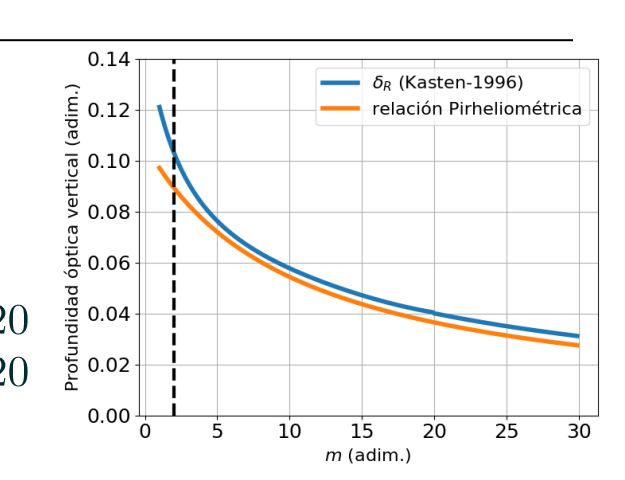
se basa en un único parámetro -> Turbidez de Linke (T_I)

Radiación directa:

$$I_{bn} = I_0 \; e^{-m \, \delta_R(m) \, T_L}$$
 profundidad óptica vertical total efectiva

Profundidad óptica de una atmósfera limpia y seca

$$1/\delta_R(m) = \begin{cases} 6.62960 + 1.75130 \, m - 0.12020 \, m^2 \\ +0.00650 \, m^3 - 0.00013 \, m^4 & , m \le 20 \\ 10.6 + 0.718 \, m & , m > 20 \end{cases}$$

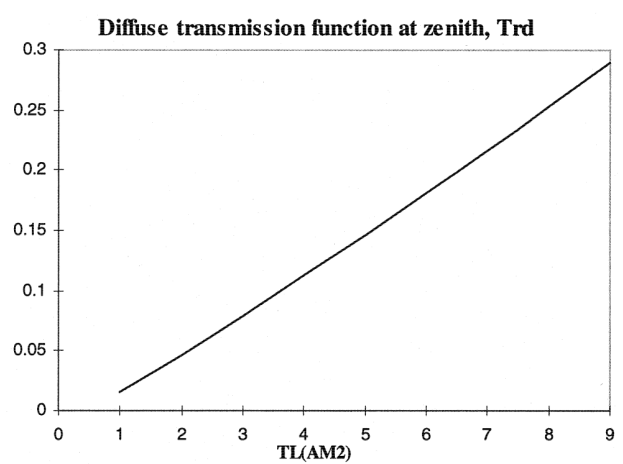


ESRA

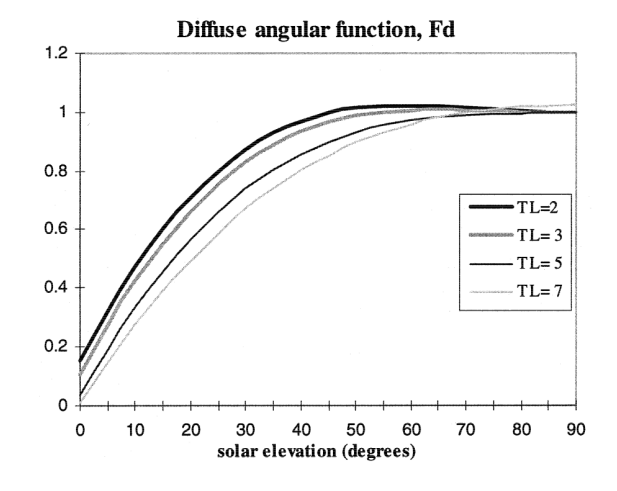
Radiación difusa:

$$I_{dh} = I_0 F_n T_z(T_L) F_d(\theta_z, T_L)$$

Transmitancia difusa en camino vertical



modificador angular

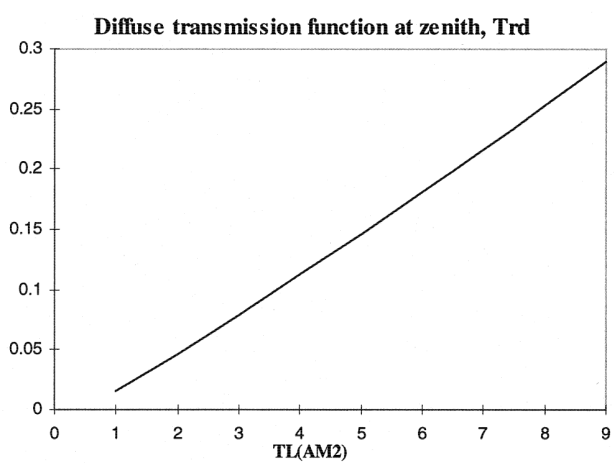


ESRA

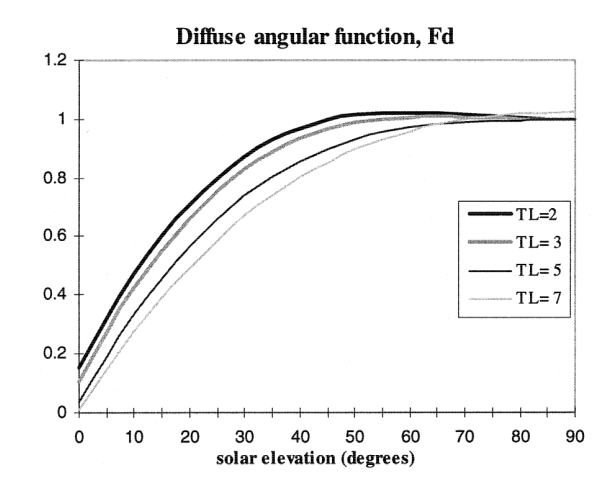
Radiación difusa:

$$I_{dh} = I_0 F_n T_z(T_L) F_d(\theta_z, T_L)$$

Transmitancia difusa en camino vertical



modificador angular



Radiación global:

$$I_q = I_{dh} + I_{dn} \cos \theta$$

Modelo REST-2

modelo de alto rendimiento basado en modelo espectral SMARTS2 estudia dos bandas con comportamientos diferentes

290-700nm (UV-VIS ~47%): aerosoles y scattering molecular 700-4000 nm (NIR ~52%): aborción por H₂O y otros gases

Modelo REST-2

modelo de alto rendimiento basado en modelo espectral SMARTS2 estudia dos bandas con comportamientos diferentes

290-700nm (UV-VIS ~47%): aerosoles y scattering molecular 700-4000 nm (NIR ~52%): aborción por H_2O y otros gases

inputs: $\beta, \alpha_1, \alpha_2, u_o, u_n, wv, \rho_{g1}, \rho_{g2}, P_c$

Modelo REST-2

modelo de alto rendimiento basado en modelo espectral SMARTS2 estudia dos bandas con comportamientos diferentes

> 290-700nm (UV-VIS ~47%): aerosoles y scattering molecular 700-4000 nm (NIR \sim 52%): aborción por H_2O y otros gases

inputs: $\beta, \alpha_1, \alpha_2, u_o, u_n, wv, \rho_{q1}, \rho_{q2}, P_c$

ESTRUCTURA

Directa

 $I_{bn,i} = I_{o,i} T_{R,i} T_{g,i} T_{O,i} T_{N,i} T_{w,i} T_{g,i}$

Difusa con superficie opaca $I'_{d,i} = I_{o,i} T_{g,i} T_{O,i} T_{N,i} T_{w,i} [B_{R,i} (1 - T_{R,i}) T_{a,i}^{0.25} + B_a F_i T_{R,i} (1 - T_{a,i}^{0.25})]$

B es forward scattering de aerosoles y Rayleigh, F es factor de corrección

Reflecciones múltiples

 $I_{dd,i} = \rho_{g,i} \, \rho_{s,i} \, (I_{bn,i} \, \cos \theta_z + I'_{d,i}) / (1 - \rho_{g,i} \, \rho_{s,i})$

depende del albedo terrestre y el "albedo de cielo" Irradiancia global $I_q = (I_d' + I_{dd}) + I_{b,n} \cos \theta_z$

Modelo Kasten-Ineichen-Perez

Modelo simple que depende de T_L de forma empírica

$$G_{bc} = bG_s F_n \exp(-0.09m(T_L - 1))$$

$$G_{hc} = a_1 G_s F_n \cos \theta_z \exp(-a_2 m[f_{h1} + f_{h2}(T_L - 1)])$$

 f_{h1} , f_{h2} , a_1 , a_2 y b dependen de la altura del sitio

Modelo McClear

- -Se basa en los resultados del modelo RTM Libradtran
- -utiliza tablas de referencia (ábacos) y funciones de interpolación
- -información de aerosoles, vapor de agua y Ozono de reanálisis y albedo terrestre de información satelital.
- -inputs de frec. 3-horaria y resolución 50-150 km
- -caja negra. Estimativos disponibles en http://www.soda-pro.com/

Y varios más...

¿Cómo se evalúa la precisión de los modelos? Métricas de desempeño

$$Y$$
 -> serie temporal de referencia (medidas en general)

$$Y = (Y_1, ..., Y_i, ..., Y_n)$$

$$\hat{Y}$$
 -> serie temporal a validar (estimada)

$$RMSD = \sqrt{\frac{1}{n} \sum_{i=1}^{n} (\hat{Y}_i - Y_i)^2}$$

"root mean square deviation"

$$MBD = \frac{1}{n} \sum_{i=1}^{n} (\hat{Y}_i - Y_i)$$
$$MAD = \frac{1}{n} \sum_{i=1}^{n} |\hat{Y}_i - Y_i|$$

"mean bias deviation"

$$MAD = \frac{1}{n} \sum_{i=1}^{n} |\hat{Y}_i - Y_i|$$

"mean absoulte deviation"

se expresan en forma relativa con respecto a la media de las medidas
$$rMBD=100 imes \frac{MBD}{\langle Y \rangle}$$
 $rRMSD=100 imes \frac{RMSD}{\langle Y \rangle}$

Kolmogorov-Smirnov Integral:

$$KSI = \int_{z_m}^{z_M} |F_{\hat{Y}}(z) - F_Y(z)| dz$$

F -> funciones de distribución acumulada (CDF)

Validaciones en la literatura especializada

código	Estudio de validación	#	#	escala	información	área de	modelos
		sitios	modelos	temporal	atmosférica	estudio	recomendados
G12	Gueymard (2012)	5	18	1-3min	AERONET	EUA y Arabia	REST-2,SOLs
						Saudita	
$\mathbf{E15}$	Engerer and Mills (2015)	14	9	$1 \mathrm{min}$	valores mensua-	Australia	SOLs, REST-2
					les de SoDA		ESRA
I16	Ineichen (2016)	22	7	$1\mathrm{h}$	CAMS	Europa, África	McClear
						e Israel	REST-2
A19	Antonanzas-Torres et al. (2019)	2	70	1 min	AERONET	Holanda,	ESRA, KIP,
						Francia	REST-2, SOLs,
							McClear y otros

Código		ESRA		K	KIP		SOLs		REST-2		McClear	
validación	métricas	$_{ m GHI}$	DNI	$_{ m GHI}$	DNI	$_{ m GHI}$	DNI	$_{ m GHI}$	DNI	GHI	DNI	
G12	rMBD(%)	+3.1	+3.8	_	_	-1.6	+0.8	-0.2	-0.3	_	_	
	$\mathrm{rRMSD}(\%)$	4.5	5.6	_	_	2.8	2.6	1.5	1.4	_	_	
E15	rMBD(%)	+4.6	-0.3	-2.0	-6.0	-2.2	-4.5	+0.3	-0.3	_	_	
	$\mathrm{rRMSD}(\%)$	5.7	6.4	4.8	7.8	5.8	6.9	5.1	6.2	_	_	
I16	$\mathrm{rMBD}(\%)$	-7.1	-15.7	_	_	-0.2	-16.4	-4.5	-15.8	+2.9	-0.7	
	$\mathrm{rRMSD}(\%)$	8.1	16.6	_	_	2.8	-17.5	5.4	16.6	3.4	4.1	
A19	$\mathrm{rMBD}(\%)$	+0.77	+1.6	-0.8	-2.8	-0.3	+2.2	-0.4	-0.3	+1.6	+3.3	
	$\mathrm{rRMSD}(\%)$	2.9	8.0	2.7	7.9	3.2	8.5	3.1	7.9	2.9	9.4	

Algunas conclusiones

El desempeño de los MCC depende de la región climática

La precisión de los MCC depende de la presición de los datos atmosféricos de entrada

La decisión del MCC mas adecuado debe realizarse localmente considerando la información de entrada disponible

DNI se estima con menor presición que GHI

a grosso los estimativo horarios de MCC deben verificar GHI: |rMBD|<2% y rRMSD <5%. DNI: rRMSD<10% y |rMBD|<3%



5 minutos de preguntas antes del siguiente tema...





Irradiancia solar en ausencia de nubes

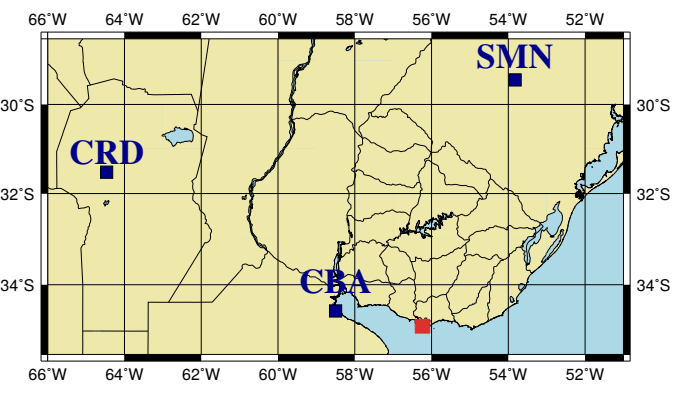
II - Información atmosférica, Turbidez de Linke

Agustín Laguarda laguarda@fing.edu.uy



mediciones a nivel de superficie: AERONET



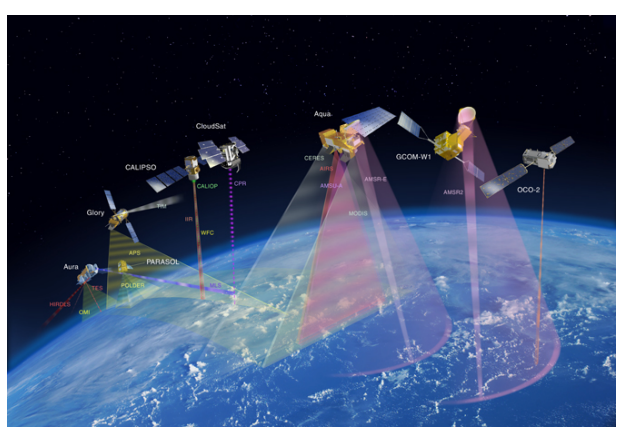


- -red de la NOAA expandida por varios colaboradores
- usa radiómetros espectrales con seguidor
- miden radiancia en al menos 6 bandas (VIS-NIR)
- -algoritmos de inversión para obtener props. de aerosoles y WV.
- -varias colecciones en función de la calidad
- >600 sitios en el mundo



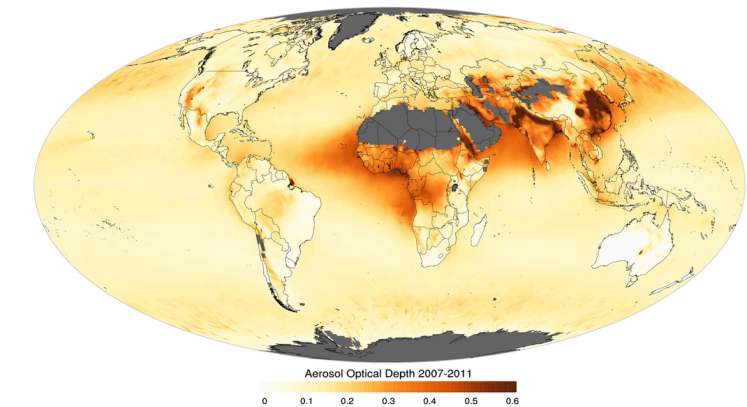
CIMEL CE 318-2

estimativos de satélites atmosféricos



A-Train

Satelites de órbita baja (700km) 8-10 vueltas a la tierra/dia gran resolución espacia ej: Aura, Terra, Aqua Instrumentos MODIS o OMI generan estimativos de aerosoles, vapor de agua, entre otros



AOD550 medio estimado por Terra-MODIS

Para un lugar dado obtiene 1o 2 estimaciones instantáneas / dia, desde el ~2000

bases de reanálisis

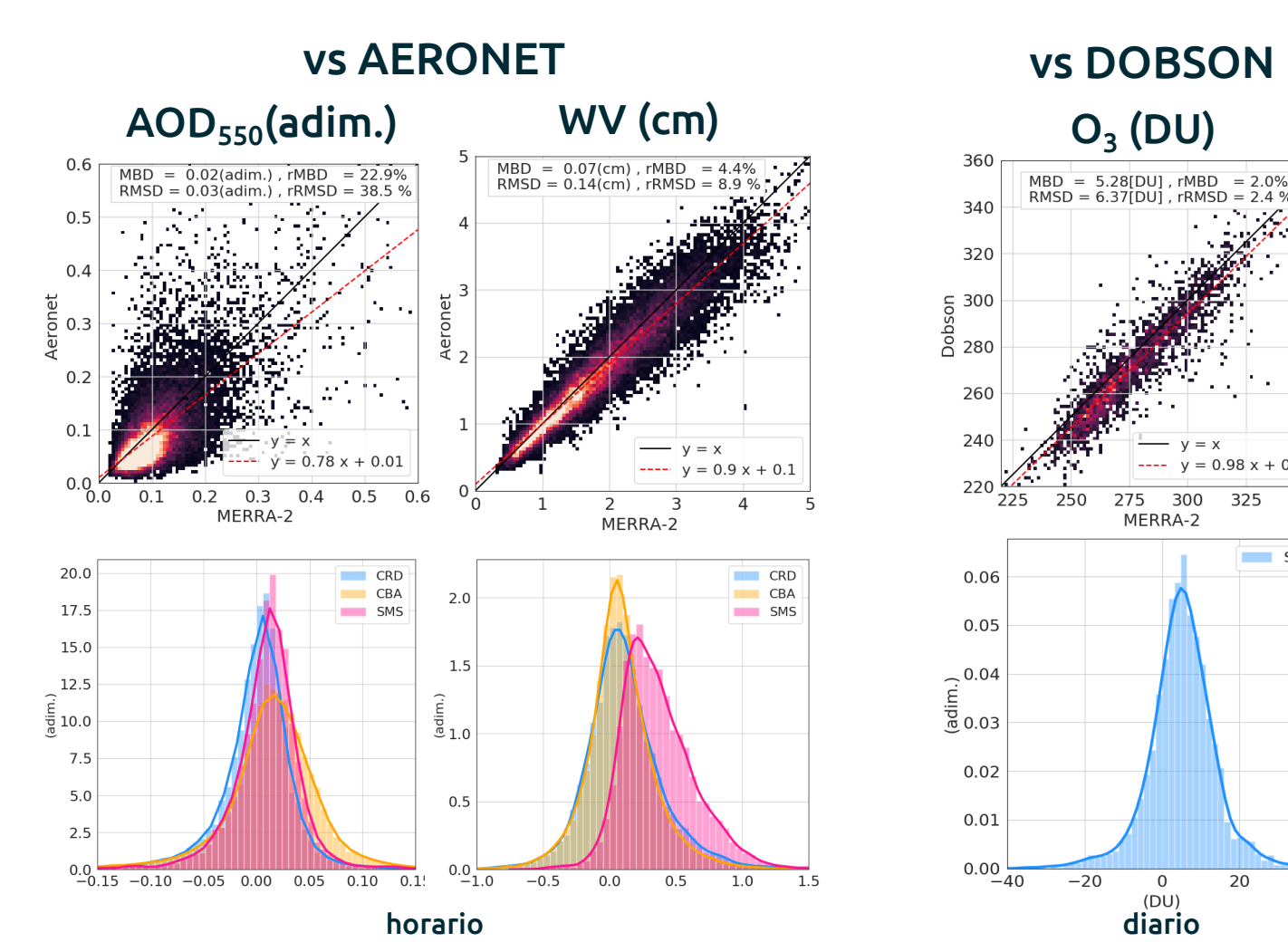
Reanálisis: aproximación sistemática que asimila observaciones a modelos numéricos genera información físicamente consistente, sin huecos de alta resolución temporal MERRA-2 (NASA), CAMS (ECMWF).

MERRA-2: información horaria, sin huecos, 0.625°x0.5° de resolucion espacial, desde 1980

Portal Giovanni:



validación de datos amotsféricos MERRA-2



350

SA

Turbidez de Linke

magnitud indirecta, varias estrategias para estimarlo

Turbidez de Linke

magnitud indirecta, varias estrategias para estimarlo

$$T_L = \frac{1}{\delta(m)m} \log \left(\frac{G_0}{G_{bn}}\right)$$

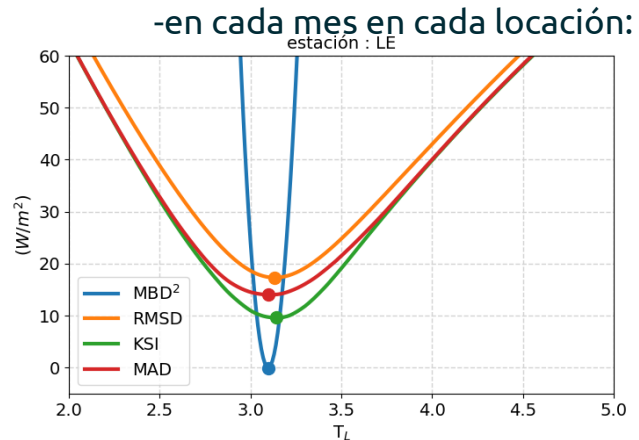
Turbidez de Linke

magnitud indirecta, varias estrategias para estimarlo

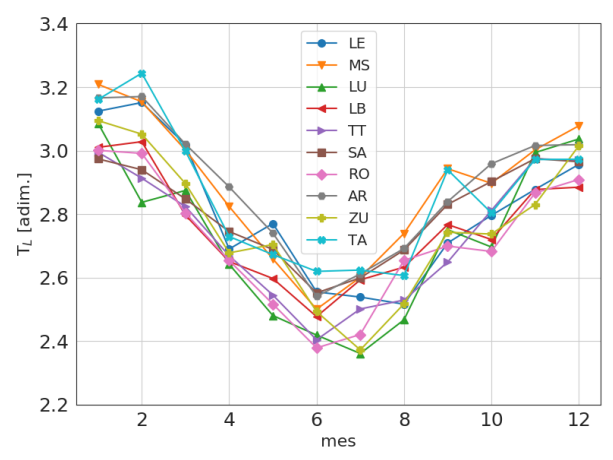
-> Si se cuenta con medidas de DNI: (mejor opción):

$$T_L = \frac{1}{\delta(m)m} \log \left(\frac{G_0}{G_{bn}}\right)$$

-> Si se cuenta con medidas de GHI, se caracterizan ciclos estacionales de TL usando medidas de cielo claro y minimizando error de MCC usando TL mensual como variable.



-método validado usando diferentes modelos de referencia y método con medidas de DNI



-ciclos no captan variabilidad diaria

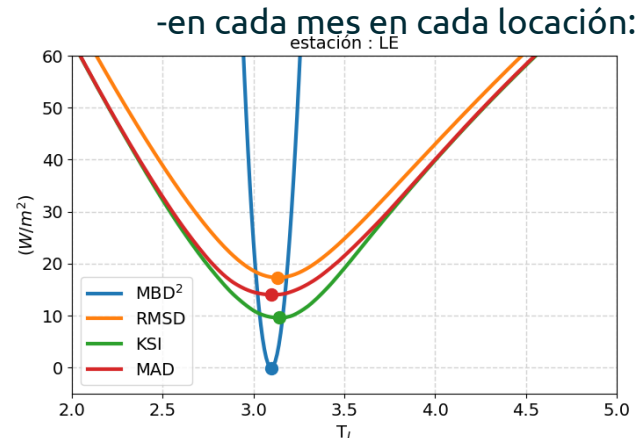
Turbidez de Linke

magnitud indirecta, varias estrategias para estimarlo

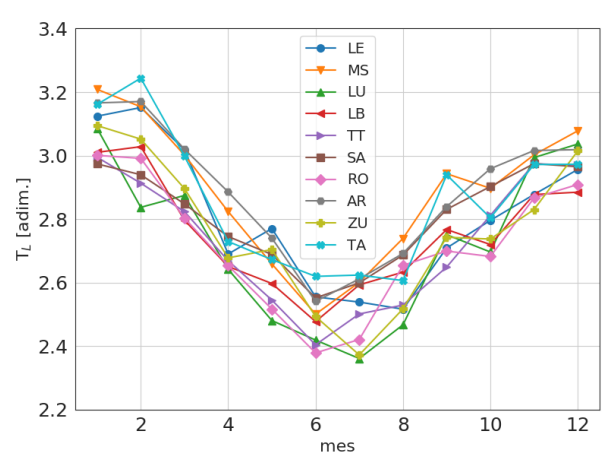
-> Si se cuenta con medidas de DNI: (mejor opción):

$$T_L = \frac{1}{\delta(m)m} \log \left(\frac{G_0}{G_{bn}}\right)$$

-> Si se cuenta con medidas de GHI, se caracterizan ciclos estacionales de TL usando medidas de cielo claro y minimizando error de MCC usando TL mensual como variable.



-método validado usando diferentes modelos de referencia y método con medidas de DNI



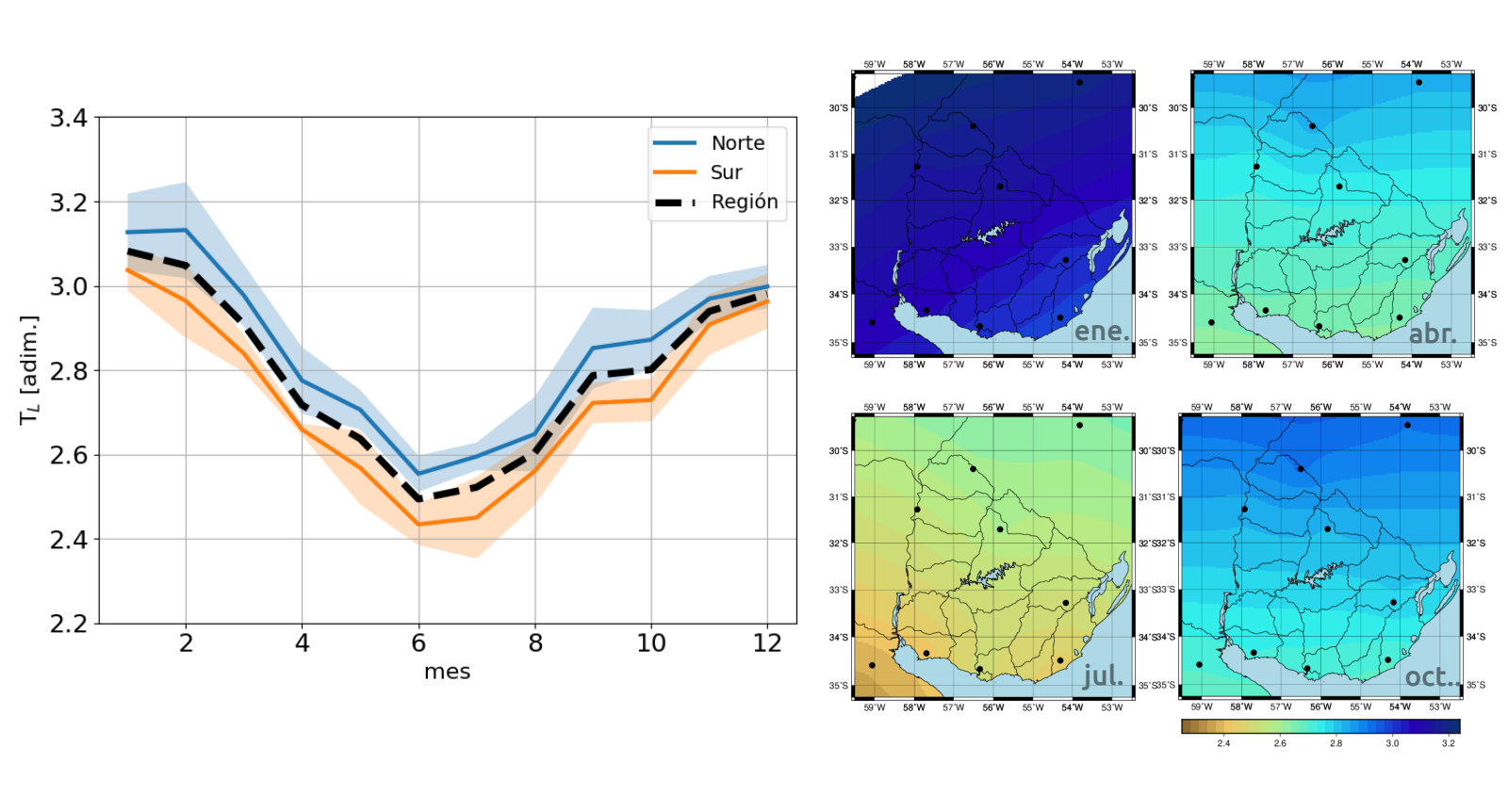
-ciclos no captan variabilidad diaria

-> Hay relaciones empíricas para relacionar TL con otras variables atmosféricas

$$T_L = 1.8494 + 0.2425 w - 0.0203 w^2 + \beta (15.427 + 0.3153 w - 0.0254 w^2)$$

$$T_L = 3.91AOD_{550} \exp(0.689/P_c) + 0.376 \log w + 2 + \frac{0.54}{P_c} - \frac{0.5}{P_c^2} + \frac{0.16}{P_c^3}$$

Turbidez de Linke

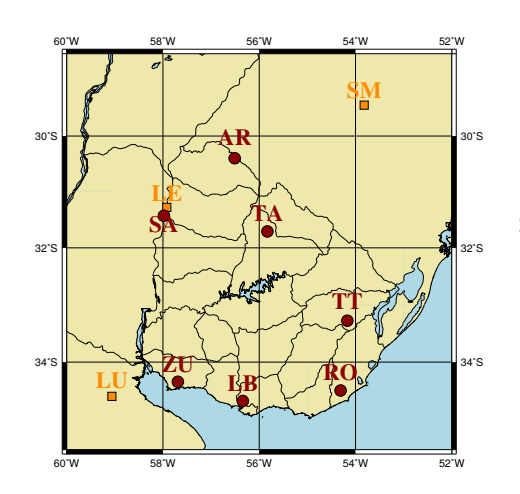


Irradiancia solar en ausencia de nubes

III - Desempeño de modelos en Uruguay

Agustín Laguarda laguarda@fing.edu.uy





datos utilizados

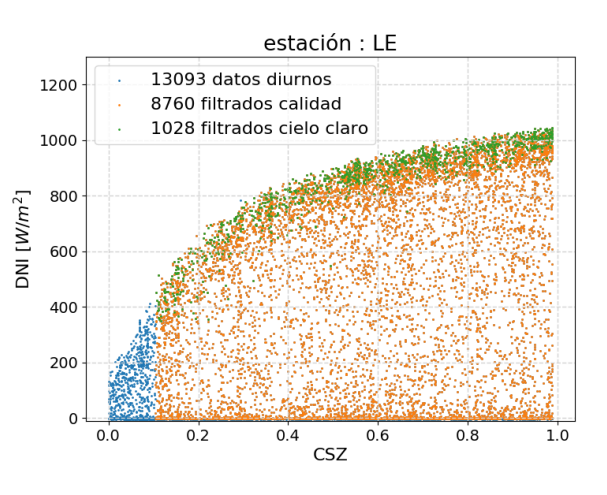
Red de medición continua de irradiancia solar (RMIS-LES)+ 2 estaciones

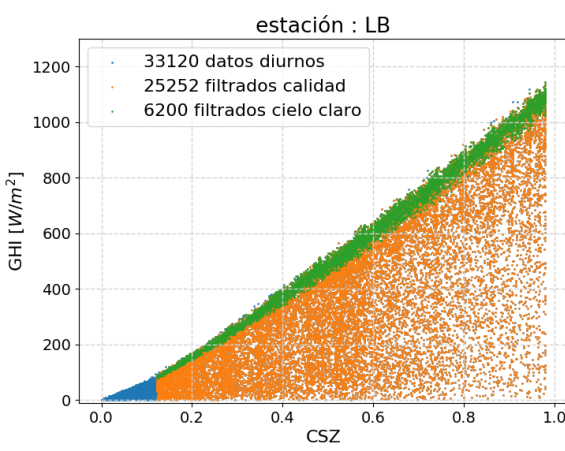
se aplican controles básicos de calidad a datos minutales, y luego se realiza integración horaria

se aplican algoritmos exigentes de seleccion de datos horarios de cielo claro.









en promedio:

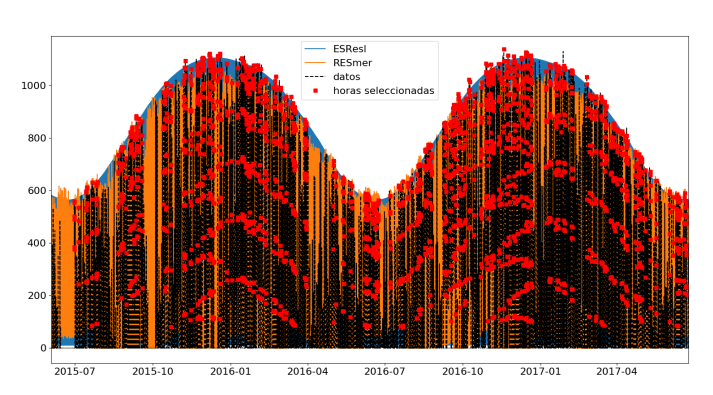
GHI

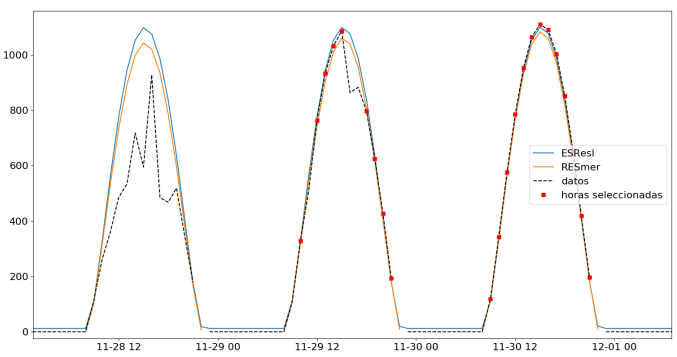
10 estaciones 20k datos por estación 17k datos filtrados QC 4k horas claras

DNI

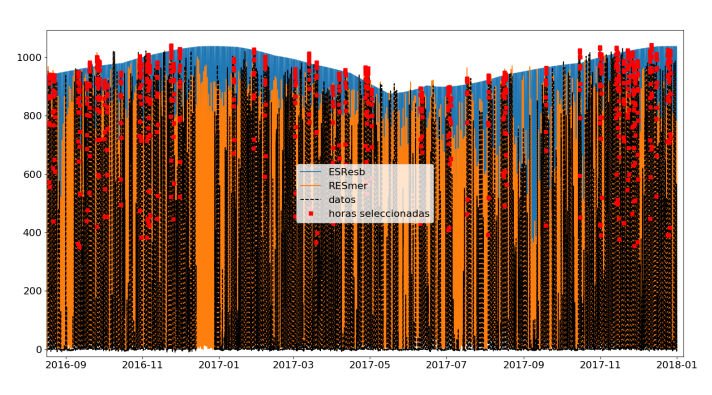
3 estaciones 15k datos por estación 10k datos filtrados QC 1k horas claras

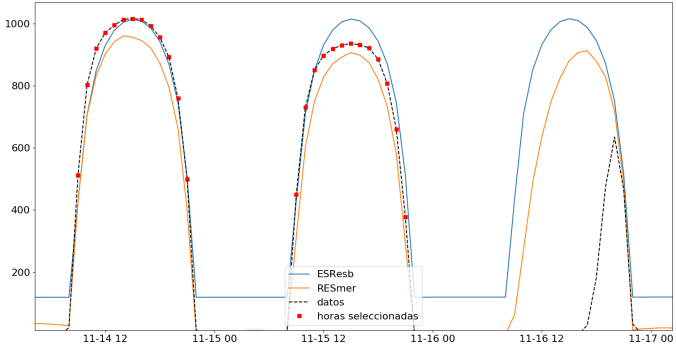


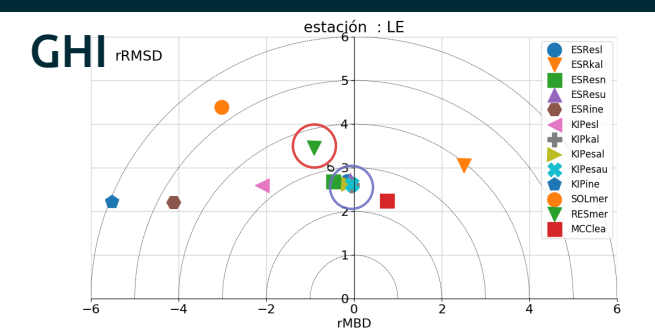


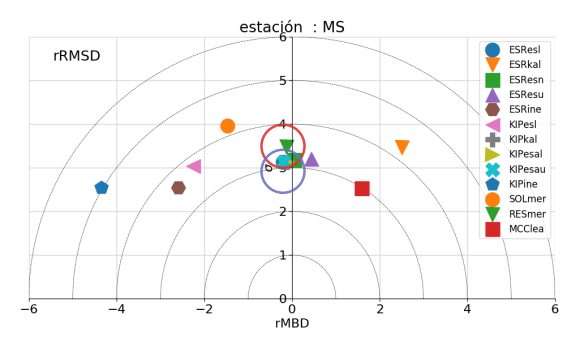


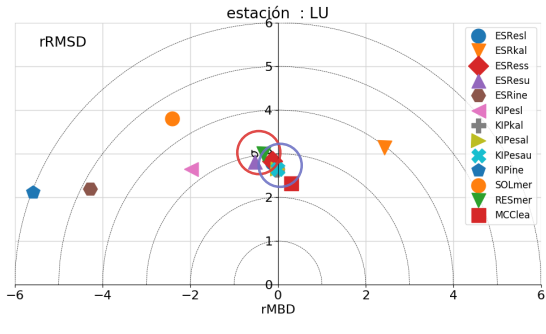
DNI



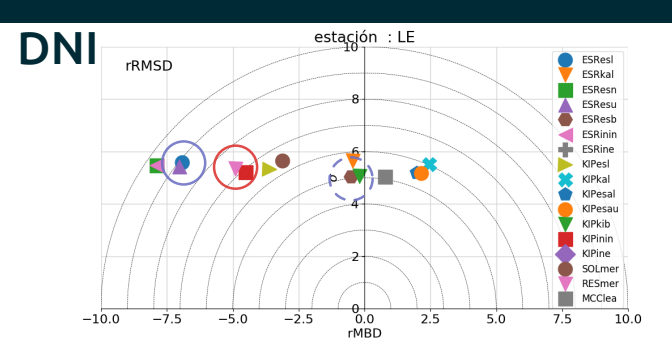


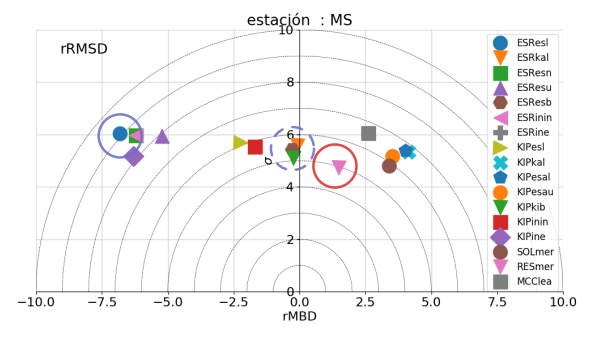


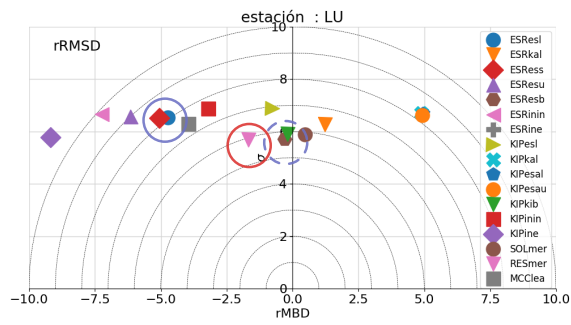




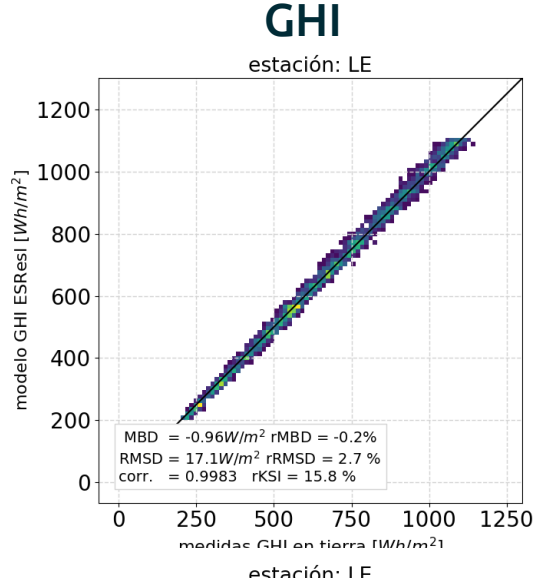
$$RMSD = \sqrt{\sigma_{dif}^2 + MBD^2}$$

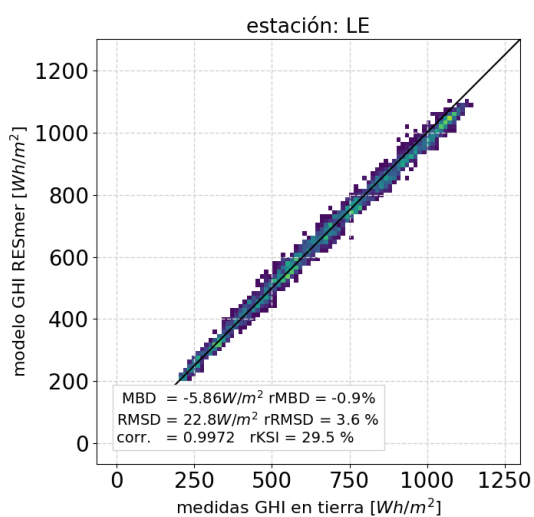


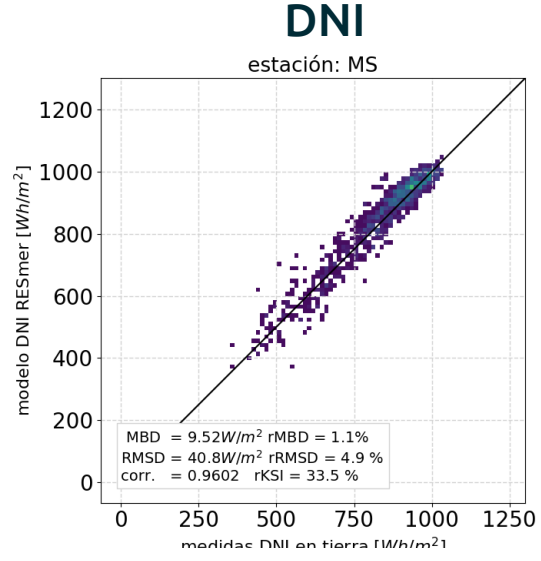


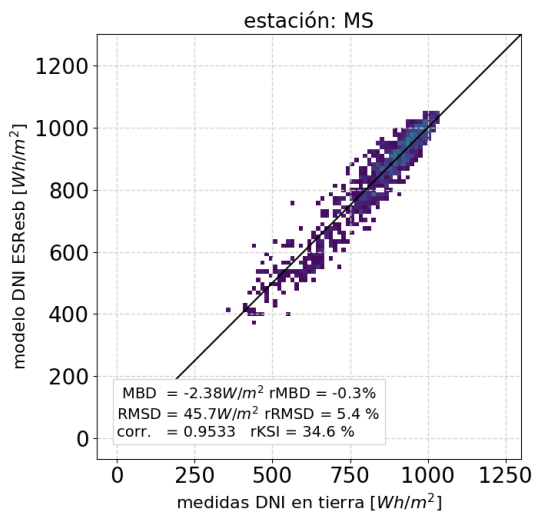


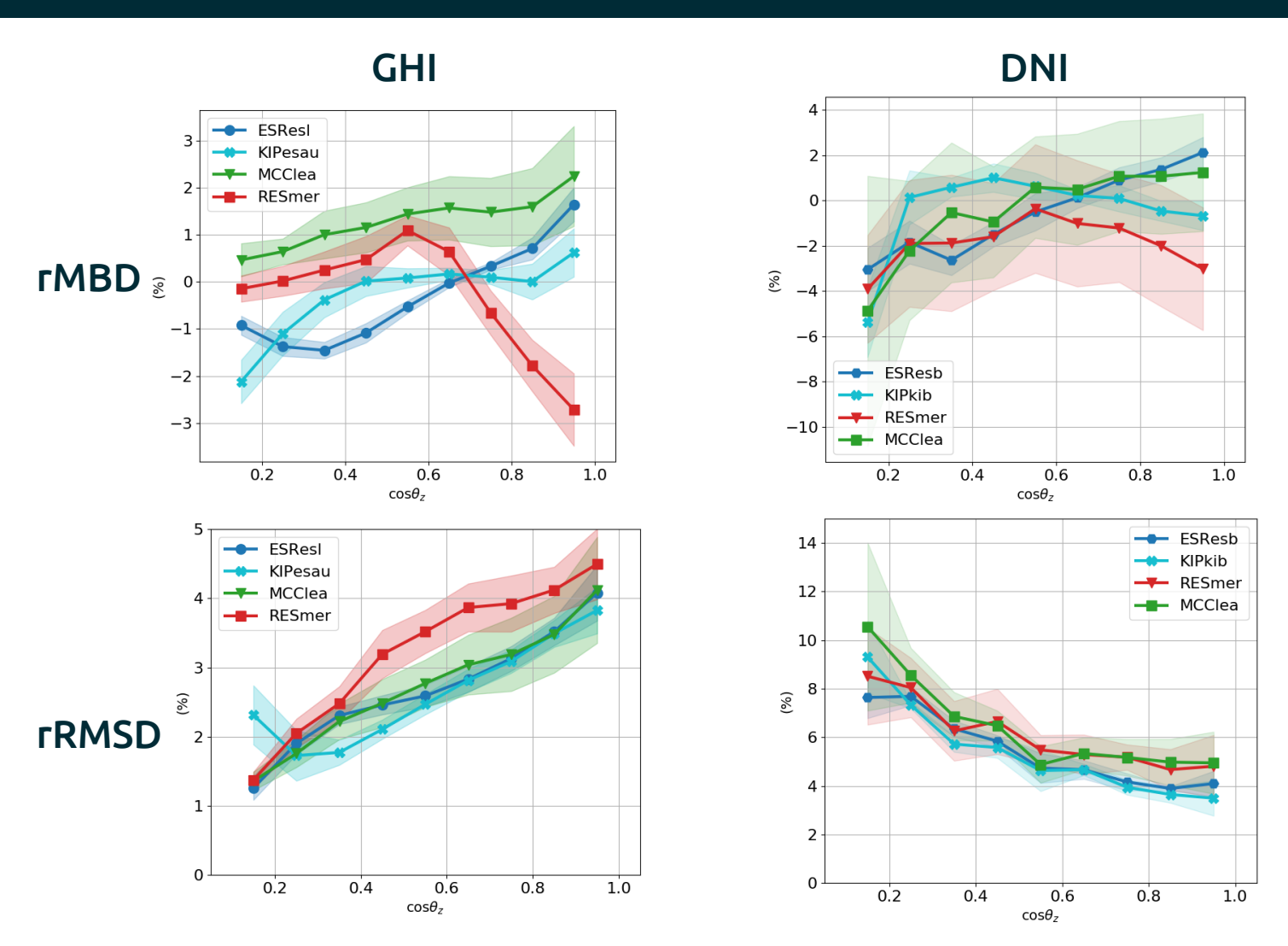
todos los valores mostrados son %











Algunas conclusiones

para seleccionar un modelo es necesario estudiar la disponibilidad y precisión de información de entrada.

Modelos simples basados en ciclos anuales son suficientes para estimar GHI con precisión similar a incertidumbre de medidas

Modelos basado en TL tienen problemas para estimar componentes con precisión simultánea

DNI es muy susceptible a cambios en la atmósfera. Se necesitan inputs que capten la variabilidad como MERRA-2

se logra estimar GHI con RMSD <4% de RMSD y sin sesgo DNI se estima con RMSD ~6% RMSD) y -2% (MBD)



5 minutos de preguntas



